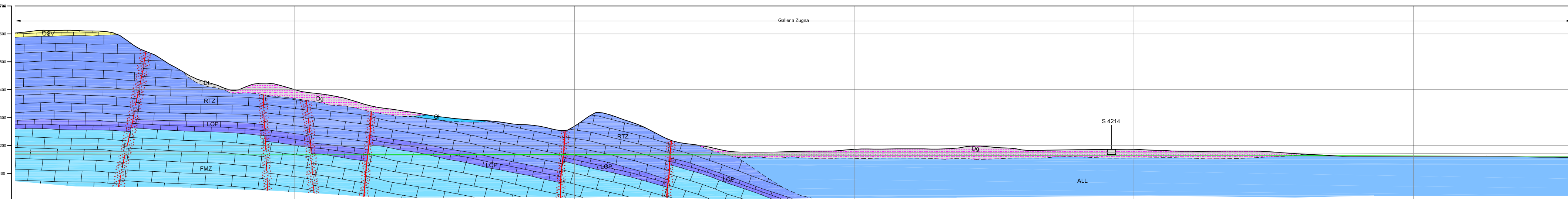


TABELLA GRUPPI GEOMECCANICI

Formazione o gruppo formazionale	Gruppo geomeccanico / geotecnico omogeneo	Contesto strutturale	Stazioni geomeccaniche	Campo di variabilità GSI	RMR (classe prevalente)	Q (classe prevalente)	UCS (MPa)	Densità (KN/m³)	mi	Pressione (MPa)				Angolo di Attrito (°)				Costanti di Hoek & Brown			Resistenza a compressione dell'ammasso roccioso (f/cm (MPa))	Modulo di deformabilità E (MPa)	
										H 150 m	H 300 m	H 500 m	H 1000 m	H 150 m	H 300 m	H 500 m	1 000 m	m	s	a			
Sequenza calcarea e calcarenomarmosa di età variabile tra il Giurassico Sup. e l'Eocene	1A	Blocchi compressi tra faglie successive, in condizioni di fratturazione ordinaria		15-50	III	V	50	24	8	0,40-0,60	-	-	-	40-47	-	-	-	0,785-1,341	0,0007-0,0038	0,536-0,506	5,50-7,30	2900-7000	
Formazione di Chiusole (CHC) Formazione di Rovere (RFR) Scaglia Rossa (SAR) Malcicola e Scaglia Variegata (MSV) Rosso Ammonitico Veronese (RAV)	1B	Zone di taglio (nucleo e zone di danneggiamento indifferenziate)		20-25	IV	VII	50	24	8	0,25-0,30	-	-	-	37-39	-	-	-	0,459-0,549	0,0001-0,0002	0,544-0,513	1,50-4,00	1200-1600	
Formazioni calcaree di età Giurassico Medio - Superiore (parte superiore del Gruppo dei calcari grigi): Formazione di Rotozo (RTZ) Formazione del Calcare Oolitico di Loppo (LOP)	2A	Blocchi compressi tra faglie successive, in condizioni di fratturazione ordinaria	556-5210-9151	55-70	II	IV	80	25	10	1,20-3,30	-	-	-	30-33	-	-	-	2,005-3,415	0,0007-0,0007	0,504-0,502	15,00-22,00	15000-32000	
Formazioni di calcarenomarmosa calcarea di età Triassico Superiore - Late Mesozoica: Formazione di Monte Zugna (MZG) Dolomia Principale (DPR) Formazione di Monte Zugna (MZG) Dolomia Principale (DPR)	3A	Blocchi compressi tra faglie successive, in condizioni di fratturazione ordinaria	551-5215-527 559-519-5115 5511-5514-5518	50-65	III	IV	90	26	10	1,50-1,40	2,00-2,90	2,90-4,00	-	45-49	41-45	36-40	-	1,677-2,865	0,0009-0,0205	0,506-0,502	15,50-22,00	9400-22400	
Formazioni calcaree di età Giurassico Medio - Superiore (parte inferiore del Gruppo dei calcari grigi): Formazione di Rotozo (RTZ) Formazione del Calcare Oolitico di Loppo (LOP)	3B	Zone di danneggiamento di faglie e blocchi compressi tra faglie molto ravvicinate	5513 - 5518	25-40	IV	VII	90	26	10	0,80-1,20	1,15-1,60	1,80-2,40	-	37-42	31-38	28-31	-	0,687-1,173	0,0002-0,0013	0,511-0,511	6,50-12,50	3200-5300	
Formazioni calcaree di età Giurassico Medio - Superiore (parte inferiore del Gruppo dei calcari grigi): Formazione di Rotozo (RTZ) Formazione del Calcare Oolitico di Loppo (LOP)	3C	Zone di nucleo delle faglie	5513 - 5518	25-40	IV	VII	90	26	10	0,60-0,70	0,85-1,00	1,10-1,50	-	32-33	29-31	24-26	-	0,480-0,574	0,0001	0,505-0,504	6,00-7,30	3200-4600	
Filati del basamento cristallino sudalpino (FLS)	4A	Blocchi compressi tra faglie successive, in condizioni di fratturazione ordinaria	558	50-55	III	V	70	27	8	0,90-1,40	-	-	-	46-47	-	-	-	1,341-1,604	0,0019-0,0067	0,506-0,504	11,00-12,00	5300-6100	
Vulcaniti di età permiana (VUL)	5	Ammasso roccioso in condizioni di fratturazione ordinaria	554 - 555	50-60	III	IV	60	26	15	0,90-1,20	-	-	-	31-53	-	-	-	1,515-1,595	0,0009-0,0017	0,506-0,503	12,50-15,50	7700-13500	
Formazione di Val Gardena (SAR)	6	Ammasso roccioso in condizioni di fratturazione ordinaria		40-50	III	V	50	22	7	0,60-0,70	-	-	-	40-44	-	-	-	0,962-1,174	0,0022-0,0039	0,508-0,506	6,50-7,30	5300-7000	
Formazione di Fiemme (FIE)	7	Ammasso roccioso in condizioni di fratturazione ordinaria	5517	40-50	III	V	50	25	8	0,95-1,05	-	-	-	39-39	-	-	-	1,122-1,341	0,0022 - 0,019	0,508-0,506	7,00-7,60	5300-7000	
Formazioni calcaree di età Giurassico Medio - Superiore: Dolomia della Valisuga (Formazione di Giovo, membro G2V3 - G2V4) "Stacco di Ravina" - Conglomerato di Richiofen (RSC)	8A	Blocchi compressi tra faglie successive, in condizioni di fratturazione ordinaria	553	50-60	III	IV	70	27	8	1,20-1,70	-	-	-	41-43	-	-	-	1,741-1,917	0,0009-0,0017	0,506-0,503	10,00-13,50	8000-14000	
Formazioni calcaree di età Giurassico Medio - Superiore: Dolomia della Valisuga (Formazione di Giovo, membro G2V3 - G2V4) "Stacco di Ravina" - Conglomerato di Richiofen (RSC)	8B	Zone di danneggiamento di faglie e blocchi compressi tra faglie molto ravvicinate		25-35	IV	VII	70	27	8	0,45-0,60	-	-	-	38-42	-	-	-	0,549-0,785	0,0002-0,0007	0,511-0,516	5,90-7,70	1000-1500	
Formazioni calcaree di età Giurassico Medio - Superiore: Dolomia della Valisuga (Formazione di Giovo, membro G2V3 - G2V4) "Stacco di Ravina" - Conglomerato di Richiofen (RSC)	8C	Zone di nucleo delle faglie		15-20	V	VIII	70	27	8	0,30-0,40	-	-	-	33-36	-	-	-	0,384-0,459	0,0001	0,501-0,504	4,00-5,00	1000-1400	
Formazioni calcaree di età Giurassico Medio - Superiore: Dolomia della Valisuga (Formazione di Giovo, membro G2V3 - G2V4) "Stacco di Ravina" - Conglomerato di Richiofen (RSC)	8D	Blocchi compressi tra faglie successive, in condizioni di fratturazione ordinaria		35-50	III	V	50	25	8	0,50-0,75	1,00-1,40	-	-	40-44	-	30-35	-	0,785-1,341	0,0007-0,0039	0,516-0,506	5,5-7,80	2800-7000	
Formazioni calcaree di età Giurassico Medio - Superiore: Dolomia della Valisuga (Formazione di Giovo, membro G2V3 - G2V4) "Stacco di Ravina" - Conglomerato di Richiofen (RSC)	8E	Zone di danneggiamento di faglie e blocchi compressi tra faglie molto ravvicinate		20-30	IV	VIII	50	25	8	0,30-0,45	-	-	-	34-38	-	-	-	0,459-0,657	0,0001-0,0004	0,544-0,512	3,60-4,80	1000-2000	
Formazioni calcaree di età Giurassico Medio - Superiore: Dolomia della Valisuga (Formazione di Giovo, membro G2V3 - G2V4) "Stacco di Ravina" - Conglomerato di Richiofen (RSC)	8F	Zone di nucleo delle faglie		10-15	V	IX	50	25	8	0,20-0,28	-	-	-	30-31	-	-	-	0,321-0,304	0,00005-0,0001	0,505-0,501	2,30-2,90	720-860	
Depositi superficiali di età quarternaria																							
Depositi alluvionali																							
Detrito di falda																							

**LEGENDA SIMBOLI**

- Limiti certi
- Limiti ipotizzati
- Faglie certe
- Faglie ipotizzate
- Zone di danneggiamento delle faglie
- Traccia della galleria e livellata al piano del ferro

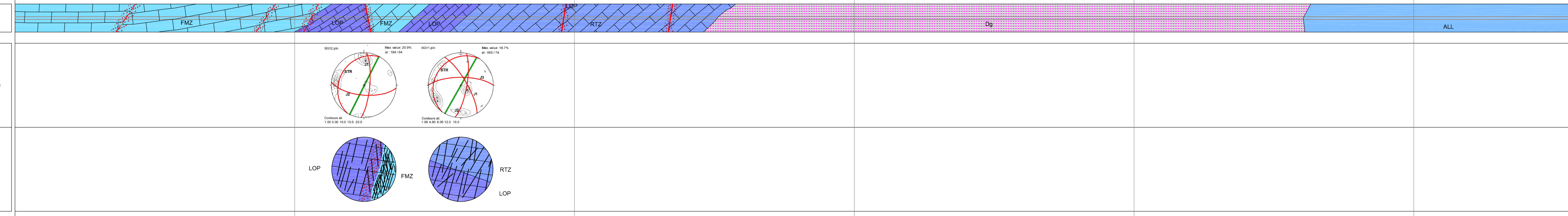


NUMERO SEZIONI	C1	C2	C3	C4	C5	C6	C7	C8	C9	C10	C11	C12	C13
DISTANZE PARZIALI	439,756	499,361	455,323	576,464	163,735	507,377	479,545	620,533	475,192	617,884	403,800	265,740	
DISTANZE PROGRESSIVE		939,117	1438,478	2014,942	2591,406	3098,783	3578,330	4208,863	4684,055	5295,939	5709,739	6075,479	6341,219
QUOTE TERRENO	160,000	160,000	160,000	160,000	160,000	160,000	160,000	160,000	160,000	160,000	160,000	160,000	160,000
QUOTE PROGETTO	160,000	160,000	160,000	160,000	160,000	160,000	160,000	160,000	160,000	160,000	160,000	160,000	160,000
DIFFERENZA DI QUOTA													
ANDAMENTO PLANIMETRICO	L= 438,3      L= 566,5      L= 265,7      L= 1000,0												

Pianta geologica in asse galleria (quota calotta)      traccia della stratificazione

Proiezioni stereografiche delle principali famiglie di giunti caratteristiche dei domini strutturali omogenei      Contorni di frequenza dei poli delle discontinuità misurate

Sezioni geologiche trasversali schematiche di fronti di scavo (potesi scavo con TBM Ø 11m circa)      Direzione della galleria



Geologia	Distanze progressive (m)		Formazione																	
	1	2	3	4	5	6	7	8	9	10	11	12	13	14	15	16	17	18	19	20
1	Copertura topografica (m)	0-50	50-100	100-300	300-500	500-1000														
2	Formazione	Formazione di Monte Zugna, Formazione del Calcare Oolitico di Loppo, Formazione di Rotozo, Depositi di Frana, Depositi alluvionali																		
3	Descrizione litologica	Descrizione litologica per ogni formazione, inclusi riferimenti a GSI, RMR, e caratteristiche geotecniche.																		
4	Presenza di faglie (zone di nucleo)	Indicazioni sulla presenza di faglie e zone di nucleo.																		
5	Zone di fratturazione intensa (zone di danneggiamento delle faglie e fasce di fratturazione)	Indicazioni sulle zone di fratturazione intensa.																		
6	Grado di incertezza delle previsioni	Basso	Medio	Elevato																
7	Gruppo geomeccanico/geotecnico omogeneo (cfr. par. 6-6 relazione geologica) e tabella gruppi geomeccanici	Tabella di gruppi geomeccanici con riferimenti a GSI e RMR.																		
8	Classificazione degli ammassi rocciosi	Classificazione degli ammassi rocciosi secondo GSI e RMR.																		
9	Principali criticità geologico/geotecniche	Elenco delle principali criticità geologiche e geotecniche.																		
10	Classificazione dei materiali di scavo	Classe A	Classe B	Classe C																

**LEGENDA**

Detrito di falda

Depositi gravitativi (accumuli di frana)

Depositi glaciali

Depositi alluvionali:

- a) prevalentemente limosi o limoso argilloso;
- b) prevalentemente sabbiosi;
- c) prevalentemente ghiaiosi o ciottolosi;

Calcare di Malcesine

Formazione di Chiusole

Formazione di Ponte Figa

Scaglia Rossa

Malcolica e Scaglia Variegata

Rosso Ammonitico Veronese

Colite di S. Vigilio

Formazione di Rotozo

Formazione del Calcare Oolitico di Loppo

Formazione di Monte Zugna

Dolomia Principale

Formazione di Travenanzes (ex F. ne di Rabl)

Calcare della Val Valsa

Formazione di Buchenstein

"Marme della Val di Centa"

"Calcarei scuri di Margon"

"Breccia di Ravina"

Formazione di Bellerophon

Formazione di Werfen

Formazione di Val Gardena

Vulcaniti indifferenziate

Filati del basamento Sudalpino

**POTENZIAMENTO ASSE FERROVIARIO MONACO - VERONA**

**LINEA DI ACCESSO SUD FORTEZZA - VERONA**

LOTTO 3 - CIRCONVALLAZIONE DI TRENTO E ROVERETO

**Progetto PRELIMINARE**

TITOLO TAVOLA: **Profilo geologico generale tratta prioritaria - 5/5 da pk 30+333 (0+000 Var.C) a pk 35+900 (5+567 Var.C)**

Scala: 1:10000

File: ACTP-9-04.05-08VOR0.dwg

Revisione: r0

Data Ult. Agg.:

COORE TAVOLA: **9-04.05**

REDAUTO DA: Damiano - Venturini

DATA REDAZIONE: 14/03/2008

IL RESPONSABILE DEL PROCEDIMENTO E PROGETTISTA DELLE OPERE CIVILI: **Raffaele De Col**

IL PROGETTISTA DELLE OPERE FERROVIARIE: **Antonio Ciaravolo**

PROVINCIA AUTONOMA DI TRENTO

DIREZIONE MANUTENZIONE DIREZIONE COMPARTIMENTALE INFRASTRUTTURA VERONA